

## КРАТКИЕ СООБЩЕНИЯ

07; 12

Журнал технической физики, т. 61, в. 2, 1991

© 1991 г.

### БОЛЬШЕАПЕРТУРНЫЕ ОПТИЧЕСКИ АДРЕСУЕМЫЕ ЖИДКОКРИСТАЛЛИЧЕСКИЕ МОДУЛЯТОРЫ

П. В. Адоменас, А. Е. Бродовский, Н. А. Василенко, М. А. Грознов, В. С. Мыльников,  
А. В. Слюсарь, Л. Н. Сомс, В. В. Швец

#### Введение

Бурное развитие в последние годы различных оптико-электронных систем связано в первую очередь с появлением надежных и высокоэффективных пространственно-временных модуляторов света (ПВМС), наиболее перспективными из которых являются жидкокристаллические [1]. Все возрастающая информационная емкость обрабатываемых сигналов требует создания модуляторов с высоким разрешением и с большой рабочей апертурой. Сейчас рабочие апертуры электрически управляемых ПВМС превышают 200 мм [2], в то время как для светоуправляемых они не превосходят 20—46 мм [1, 3].

Целью данной работы была разработка и исследование светоуправляемых модуляторов света с рабочей апертурой выше 100 мм (световой диаметр 110 мм).

#### Описание предметов и методики исследования

Модулятор света представлял собой структуру типа фоточувствительный органический полимер (полимиид)—жидкий кристалл (ФОП—ЖК) [4, 5].

Способ изготовления прозрачного электрода на интерференционных стеклянных пластинах размером 120 мм (имеющих отклонение от плоскости рабочей поверхности 0.02 мкм, класс точности 2 и толщину 30 мм) предусматривает нанесение смеси индия и олова методом термического испарения, в результате чего образуется непрозрачный электропроводящий слой. Полученный в атмосфере азота при  $P=10^{-2}$  мм рт. ст. слой отжигают при  $T=450$  °C в течение 0.1 ч. Для предотвращения растрескивания пластин их охлаждение проводилось в течение 10—15 ч. При многократном повторении этой операции получался электрод  $In_2O_3-SnO_2$ , обладающий хорошей адгезией, малым сопротивлением, высокой прозрачностью в видимой области спектра.

Фоточувствительный слой изготавливали поливом раствора фотопроводящего полимида в органическом растворителе (логарифмическая вязкость 0.5 %-ных растворов полимидов в N-метил-2-пирролидоне при 25 °C равнялась 0.6—1.2 дл./г) на поверхность подложки с электропроводящим слоем, выведенную на горизонтальный уровень. Сформированную после упаривания растворителя при температуре 25—60 °C пленку фотопроводника досушивали далее при температуре 70—80 °C в течение 1.5—2 дней. Толщины фотослоев определялись на микроинтерферометре и составляли ~1.5—0.5 мкм.

В качестве жидкокристаллического слоя для эффектов динамического рассеяния (ДР), для фазового перехода (ФП) холестерин—нематик и для двулучепреломления (ДП) на S-эффекте использовалась нематическая смесь. В первых двух случаях не требуется предварительной ориентации ЖК, менее жесткие требования предъявляются к равнотолщинности модулирующего слоя и имеется монотонный характер электрооптической характеристики. В последнем случае ориентирующие слои (поливиниловый спирт) наносились методом (ПВС). После нанесения (водный раствор 1 %) подложки высушивались при  $T=70-80$  °C в течение 2 ч, а затем натирались в одном направлении батистовой тканью. При сборке модуляторов две пластины с фоточувствительным слоем и электродом склеивались эпоксидным kleem, при этом толщина зазора между пластины задавалась фторопластовыми прокладками и состав-

ляла  $10 \pm 2$  мкм. В собранном виде модуляторы нагревались до 70—80 °С и заливались в вакууме жидкокристаллической смесью.

Для записи на ПВМС использовалось излучение 2-й гармоники импульсного лазера на АИГ: Nd<sup>3+</sup> ( $\tau=20$  нс,  $\lambda=0.53$  мкм), которое хорошо согласуется с максимумом фоточувствительности полимида. Считывание проводилось «на просвет» непрерывным излучением Не—Не лазера ( $\lambda=0.63$  мкм). В работе определялись контрастно-временные характеристики ПВМС всех типов. Контраст  $K$  определялся как отношение конечного (при внешней записи) к начальному (без записи) пропусканию ПВМС. Времена включения  $t_{\text{вкл}}$  и выключения  $t_{\text{выкл}}$  соответствовали критерию 0—0.9 от  $K_{\max}$  и 1.0—0.1 от  $K_{\max}$ . В случае модулятора на  $S$ -эффекте исследовалась также дифракционная эффективность при различных пространственных частотах записи. Однородность модуляторов  $\sigma S$  определялась как среднеквадратичное отклонение пропускания ПВМС при зондировании по всей рабочей апертуре исследуемых образцов тонким (диаметром 100 мкм) лазерным лучом ( $\lambda=0.63$  мкм):

$$\sigma S = \left[ \frac{\sqrt{\sum_1^m (T - \bar{T})^2}}{m\bar{T}} \right] \cdot 100 \%,$$

где  $m=80-100$  — число точек измерения,  $\bar{T}$  — среднеарифметическое значение пропускания

$$\bar{T} = \frac{\sum_1^m T_i}{m}.$$

В случае модулятора на ДП он помещался между скрещенными поляризаторами в отличие от условий исследования двух других типов ПВМС, где поляризационная оптика не требовалась.

### Экспериментальные результаты

На рис. 1 представлен опытный образец большеапертурного ПВМС. Модулятор света на основе фазового перехода обладал следующими характеристиками (рис. 2): время включения  $\leq 250$  мкс, время выключения  $\leq 2$  мкс, контраст  $\geq 17 : 1$ , пороговая чувствительность  $\leq 10^{-5}$  Дж/см<sup>2</sup>, рабочее напряжение питания  $\leq 300$  В. Обращает на себя внимание колоколообразный ход зависимости контраста  $K$  от напряжения питания  $U$ .

Результаты исследования контрастно-временных характеристик ПВМС на основе динамического рассеяния представлены на рис. 3: время включения  $\leq 50$  мс, время выключения  $\leq 550$  мс, контраст  $\geq 17 : 1$ , пороговая чувствительность  $\leq 10^{-5}$  Дж/см<sup>2</sup>, напряжение питания  $\leq 500$  В. При  $U > 400$  В наблюдалась стабилизация величины контраста независимо от интенсивности записываемого излучения (от 30 до 50 мкДж/см<sup>2</sup>). Модулятор на эффекте двулучепреломления имел следующие контрастно-временные характеристики: контраст  $> 90 : 1$ , рабочий диапазон напряжений питания 35—170 В, 13 градаций серости с шагом 0.15D оптической плотности, время включения  $\leq 40$  мс, время выключения  $\leq 750$  мс. Голографические характеристики ПВМС на  $S$ -эффекте представлены на рис. 4: дифракционная эффективность  $\eta \geq 10 \%$ , разрешающая способность по полуспаду частотно-контрастной характеристики  $\geq 140$  лин/мм, время включения  $\leq 6$  мс, время выключения  $\leq 70$  мс.

Рис. 1. Большеапертурный ПВМС (общий вид).

С ростом пространственной частоты записи  $\lambda$  (с 50 до 530 лин/мм)  $t_{\text{вкл}}$  и  $t_{\text{выкл}}$  уменьшаются почти на порядок. Однородность ПВМС в выключенном состоянии составила 2, 8 и 13 % соответственно для модуляторов на ФП, ДР и ДП эффектах. Модулятор на основе двулучепреломления в открытом (т. е. при внешней записи) состоянии имел неоднородность 1.7 %.

## Обсуждение результатов

Колоколообразный (с явным выраженным максимумом) ход вольт-контрастной характеристики для ПВМС на ФП (рис. 2) объясняется следующим образом: при малых ( $\leq 100$  В) напряжениях питания доля  $U$  на ЖК при засветке весьма незначительна, т. е. близка к предпороговому состоянию. При больших ( $\geq 250$  В) напряжениях даже без внешней записи доля напряжения на ЖК значительна, что приводит к увеличению его пропускания и соответственно к уменьшению контраста ПВМС.

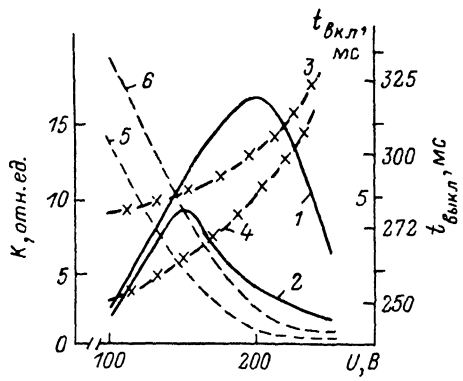


Рис. 2. Зависимость  $K$  (1, 2),  $t_{\text{выкл}}$  (3, 4),  $t_{\text{вкл}}$  (5, 6) от  $U$  для модулятора на ФП.  
 $W=15$  (1, 3, 5), 9 мкДж/см<sup>2</sup> (2, 4, 6).

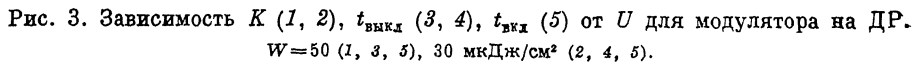


Рис. 3. Зависимость  $K$  (1, 2),  $t_{\text{выкл}}$  (3, 4),  $t_{\text{вкл}}$  (5) от  $U$  для модулятора на ДР.  
 $W=50$  (1, 3, 5), 30 мкДж/см<sup>2</sup> (2, 4, 5).

ственное к уменьшению контраста ПВМС. Уменьшение  $t_{\text{вкл}}$  и увеличение  $t_{\text{выкл}}$  с ростом  $U$  связано соответственно с большей величиной напряжения питания, которое перераспределялось на ЖК.

Выход на плато величины контраста ПВМС на ДР (рис. 3) связан с полным проходом носителей через фотослой и установлением стационарного режима. Этим же объясняется рост  $K$  с увеличением экспозиции записи  $W$ . Значительное уменьшение времени выключения при  $U=260-340$  В объясняется отрицательным значением  $\Delta e$  для ЖК на динамическом рассеянии, что приводит к ускоренной релаксации директоров молекул жидкого кристалла к исходной планарной ориентации с ростом напряжения питания [6]. При  $U > 340$  В время выключения стабилизируется, что определяется в основном гидродинамическими (вязкостью)

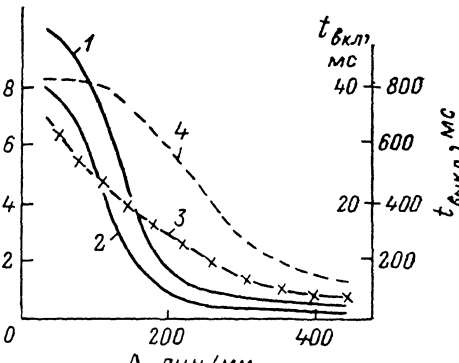


Рис. 4. Зависимость  $\eta$  (1, 2),  $t_{\text{выкл}}$  (3, 4),  $t_{\text{вкл}}$  (5) от  $\Delta$  для модулятора на ДР.  
 $W=20$  (1, 3, 5) мкДж/см<sup>2</sup> (2, 4, 6).

свойствами ЖК. Отсутствие ориентирующих слоев у этого типа ПВМС ограничивали величину максимального контраста на уровне 18 : 1. Контраст изображений измерялся с помощью традиционного яркомера [7], при этом считающий лазерный луч падал по нормали к ПВМС, а апертурный угол яркомера составлял 6°.

Увеличение дифракционной эффективности с ростом экспозиции для модулятора на ДР на  $S$ -эффекте связано с ростом концентрации носителей тока в ФОП, что соответственно приводит к увеличению доли напряжения питания, приходящегося на ЖК. Уменьшение  $t_{\text{вкл}}$  и  $t_{\text{выкл}}$  с ростом  $\Delta$  вызвано, по-видимому, существенным поперечным растеканием заряда на границе ФОП—ЖК в ПВМС с ориентантами на основе ПВМС. Для сравнения можно отметить, что при нанесении ориентирующих покрытий на основе косонасыпанного GeO или SiO зависимость времен от записываемой пространственной частоты практически нет, что объяс-

няется более высокими поверхностными сопротивлениями тонких ( $\sim 10$  нм) ориентирующих неорганических слоев по сравнению с толстыми ( $\sim 1$  мкм), более проводящими ориентирующими слоями на основе ПВС.

Однородность оптических характеристик ПВМС обусловлена качеством всех составляющих элементов сэндвича, причем в случае модулятора на ДП однородность дополнительно ухудшается в 2—4 раза (по сравнению с другими типами ПВМС) благодаря наличию ориентирующего слоя ПВС. Увеличение неоднородности модулятора на ДП во включенном состоянии (17 %) по сравнению с выключенным (13 %) объясняется нелинейностью передаточной характеристики жидкокристаллического слоя.

Для сравнения отметим, что полученные результаты по однородности для малоапертурных модуляторов (световой диаметр 20—30 мм) обычно были в 1.5—2 раза лучше [8].

## Выводы

Анализ полученных результатов исследования трех типов большиеапертурных ПВМС позволяет сделать вывод о перспективности их использования в различных оптико-электронных системах с большой информационной емкостью, поскольку модуляторы на ФП и ДР обладают высоким контрастом ( $> 17 : 1$ ) и быстродействием ( $< 50$  мс) при небольшой ( $< 3$  Гц) реверсивности. Несмотря на трудоемкую технологию изготовления, ПВМС на ДП (на S-эффекте) обладают высоким контрастом 90 : 1, 13 градациями серости, временами включения 6 мс и выключения 70 мс, дифракционной эффективностью 10 %, разрешающей способностью по полуспаду ЧКХ 140 лин/мм, голограммической чувствительностью  $2 \times 10^{-6}$  Дж/см<sup>2</sup> %, что делает их весьма удобными для использования в голограммических устройствах [9].

## Список литературы

- [1] Васильев А. А., Касасент Д., Компанец И. Н., Парфенов А. В. Пространственные модуляторы света. М.: Радио и связь, 1987. 320 с.
- [2] Jacobs S. D., Cerqua K. A., Marshall K. L. // J. Opt. Soc. Am. 1988. Vol. 5. N 9. P. 1962—1979.
- [3] Bleha W. P., Lipton L. T., Wiener-Avnur E. et al. // Opt. Eng. 1978. Vol. 17. N 4. P. 371—384.
- [4] Мыльников В. С., Морозова А. Е., Василенко Н. А. и др. // ДАН СССР. 1985. Т. 218. № 4. С. 897—899.
- [5] Грознов М. А., Мыльников В. С., Сомс Л. Н., Тарасов А. А. // ЖТФ. 1987. Т. 57. Вып. 10. С. 2041—2042.
- [6] Блинов Л. М. Электро- и магнитооптика жидкких кристаллов. М.: Наука, 1978. 384 с.
- [7] Гуревич М. М. Фотометрия. 2-е изд. Л.: Энергоатомиздат, 1983. 272 с.
- [8] Грознов М. А., Каманина Н. В., Мыльников В. С. и др. // ОМН. 1989. № 5. С. 9—11.
- [9] Brodowski A. E., Vasilenko N. A., Groznov M. A. et al. // Abstracts the 8<sup>th</sup> Liquid Crystal conf. of socialist countries. Krakow, 1989. Vol. II. P. 73.

Ленинградский  
механический институт

Поступило в Редакцию  
13 июня 1990 г.

02; 04

Журнал технической физики, т. 61, с. 2, 1991

© 1991 г.

## ПЛАЗМЕННОЕ ОБРАЗОВАНИЕ В КАВИТИРУЮЩЕЙ ДИЭЛЕКТРИЧЕСКОЙ ЖИДКОСТИ

А. И. Колдаков

Исследования проводились на установке, представленной на рис. 1 [1]. Рабочая жидкость с помощью шестеренчатого насоса под давлением до 7 МПа подавалась в камеру из органического стекла на вход дроссельного устройства, представляющего собой канал длиной 25—30 мм и диаметром 1—2 мм. Регулируя частоту пульсации потока жидкости изменением числа оборотов насоса, а давление с помощью перепускного крана, в системе получали мощные резонансные колебания потока частотой порядка 5 кГц. При этом на входной кромке по периметру дросселирующего канала появлялось плазменное образование, по яркости напоминающее дуговой разряд (рис. 2). После более 100 ч работы входная кромка дроссель-